

SEVRAGE RESPIRATOIRE DIFFICILE: ORIGINE CARDIAQUE?

Pr Alexandre OUATTARA
Service d'Anesthésie-Réanimation cardiovasculaire
Biologie des maladies cardiovasculaires, INSERM UMR 1034
Hôpital Haut-Lévêque, Université de Bordeaux, France
Email: alexandre.ouattara@chu-bordeaux.fr

CHU
Université
BORDEAUX
Inserm

ECHEC DU SEVRAGE RESPIRATOIRE: DES ORIGINES DIVERSES...

Perren A et al. Intensive Care Med 2013; 39:1885-95

Teboul et al. Critical Care 2010, 14:211
<http://ccforum.com/14/2/211>

CRITICAL CARE

REVIEW

Weaning failure of cardiac origin: recent advances

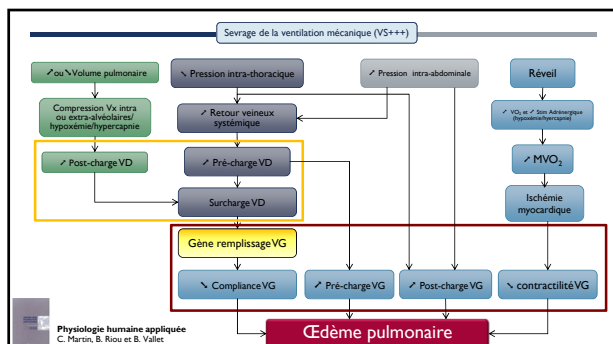
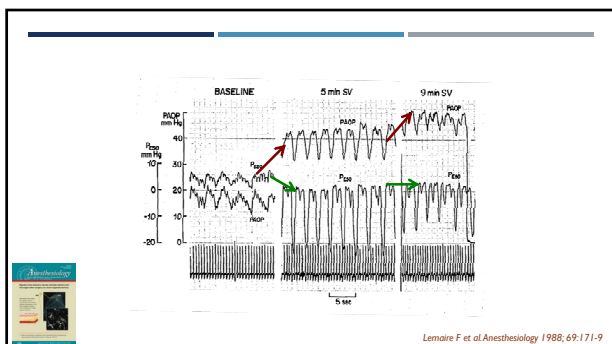
Jean-Louis Teboul*, Xavier Monnet, and Christian Richard

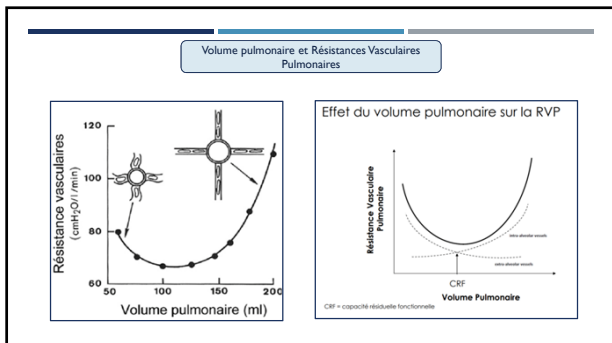
Acute Left Ventricular Dysfunction during Unsuccessful Weaning from Mechanical Ventilation

15 pts BPCO porteurs pathologie cardiaque

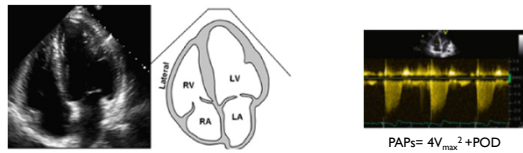
- Passage en ventilation spontanée (10 min)
- Pression oesophagienne ↓ de +5 à -2 mmHg
- DC ↗ de 3,2 à 4,3 L·min⁻¹
- FC ↗ de 77 à 90 bpm
- PAPO ↗ 8 à 20 mmHg

Lemaire F et al. Anesthesiology 1988;69:171-9

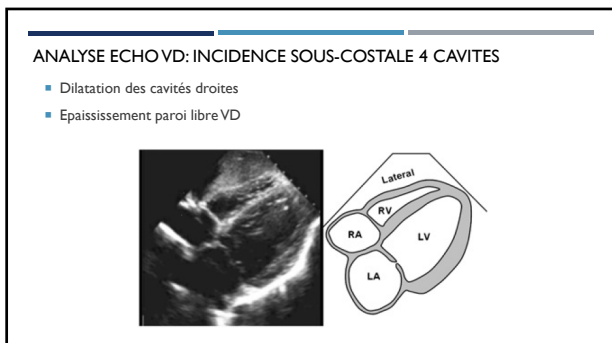




ANALYSE ECHO VD: INCIDENCE APICALE 4 CAVITES

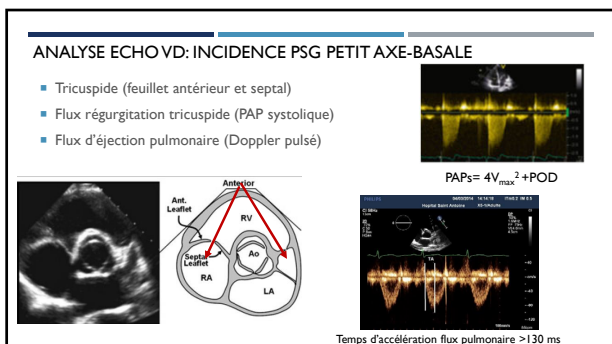
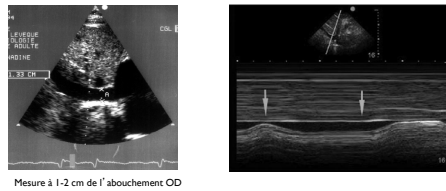


- Paroi libre (distension des cavités)
- Mesure FR VD (Fractional area change), TAPSE (mode TM), Tissue doppler (Pic S')
- Estimation pression artérielle pulmonaire (systolique)



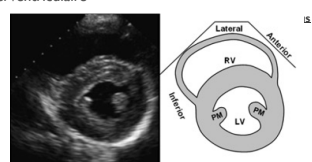
ANALYSE ECHO VD: INCIDENCE SOUS-COSTALE 4 CAVITES

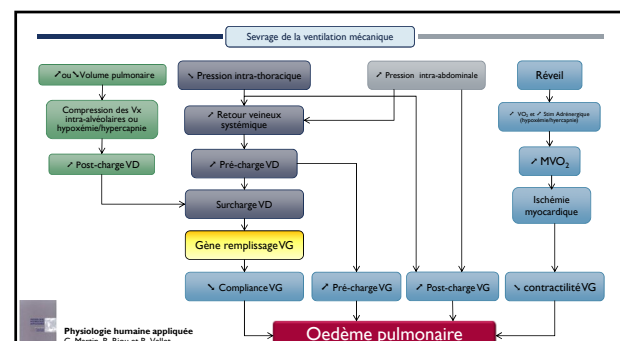
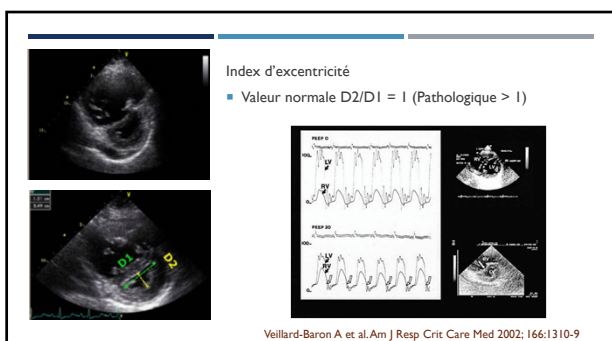
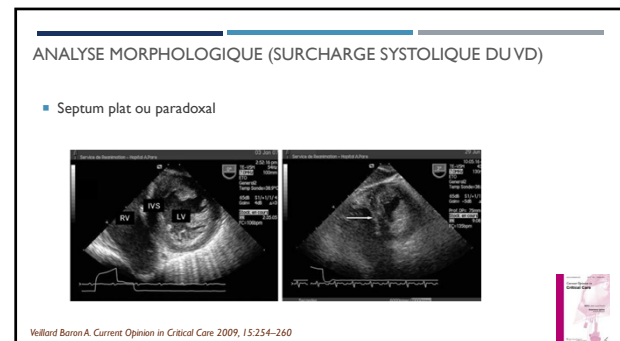
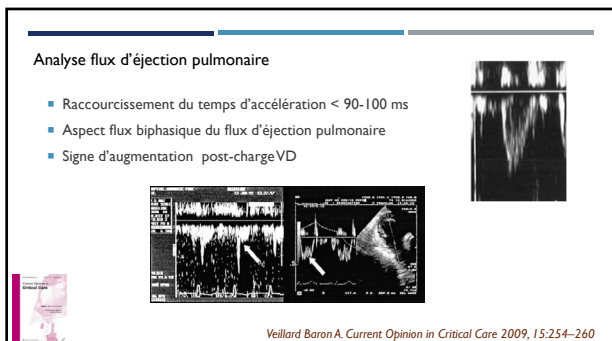
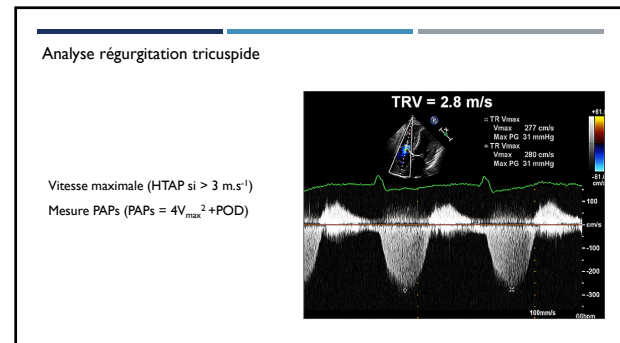
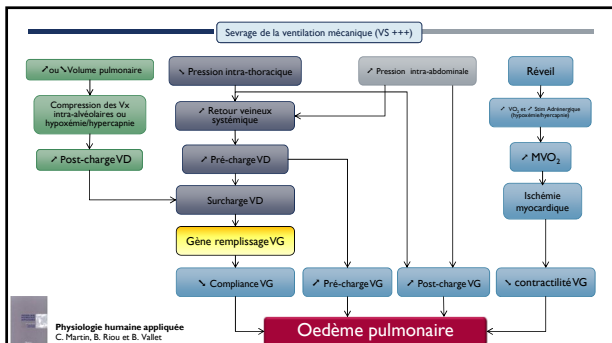
- Analyse VCI (distension, variabilité)



ANALYSE ECHO DU VD: INCIDENCE PSG PETIT AXE-TRANSPILIER

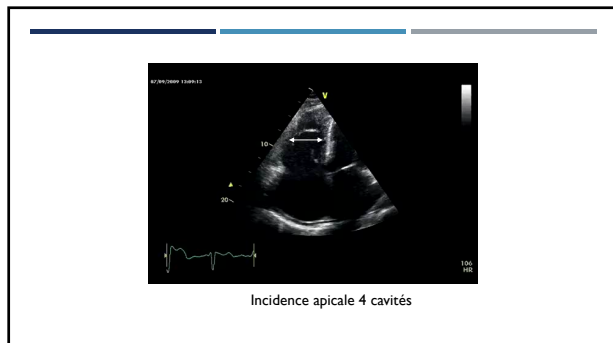
- Cinétique VD/VG
- Surcharge systolique VD
- Analyse septum interventriculaire





- 7 patients BPCO
- Sans dysfonction cardiaque gauche préalable
- Cathéter de Swan-Ganz
 - Augmentation PAP 25 à 28 mmHg au sevrage
 - Pas de modification significative FEVD 0,36 à 0,35
 - **Volume téle-diastolique VD 117 à 126 ml**

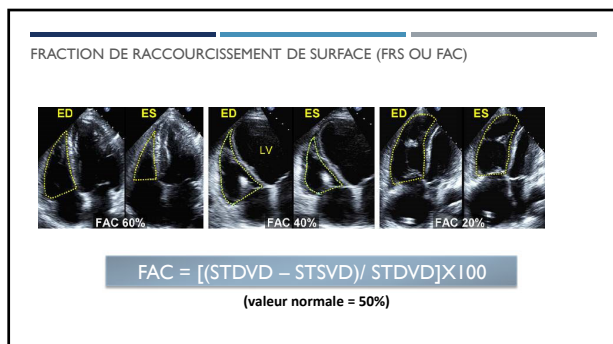
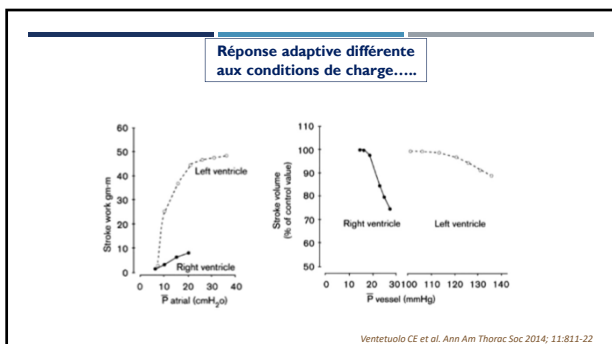
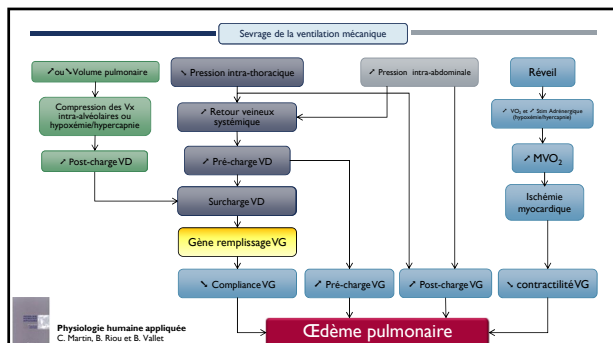
Teboul JL. *Intensive Care Med.* 1988;14 Suppl 2:483-5

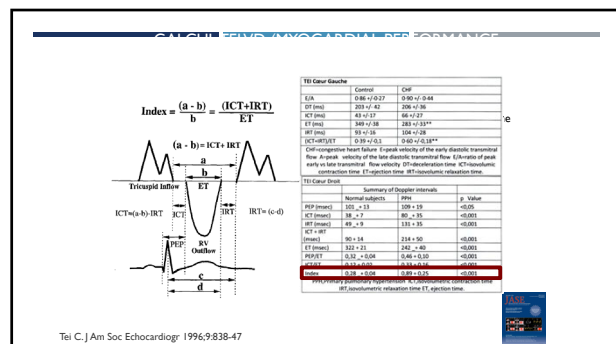
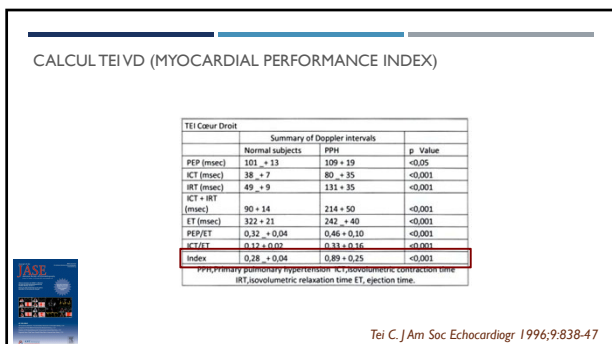
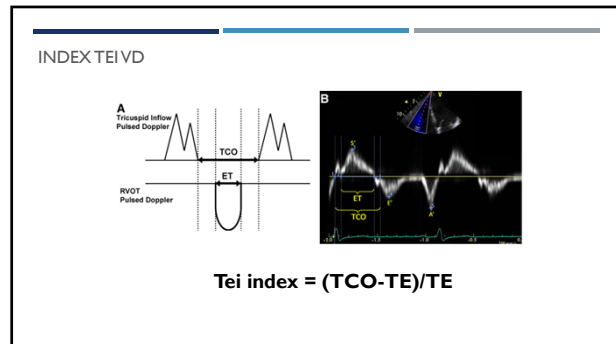
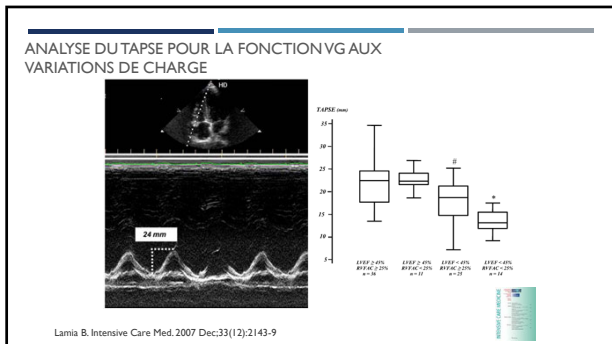
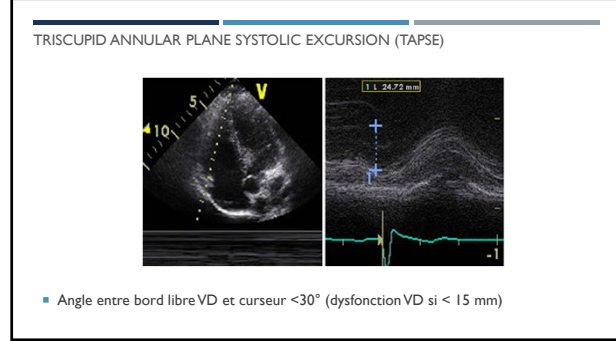
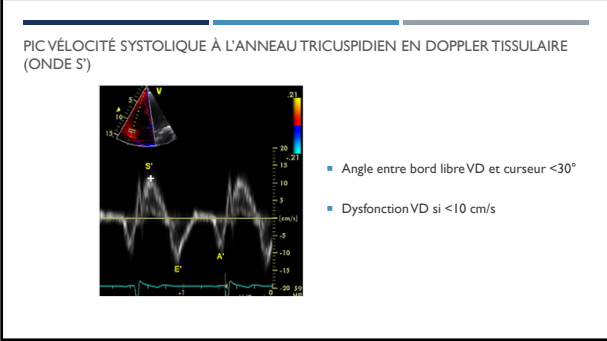


Incidence sous-costale 4 cavités (centrée sur VCI)

Table 3 Estimation of RA pressure on the basis of IVC diameter and collapse

| Variable | Normal (ϕ 6-12) mm Hg | Intermediate (ϕ 13-18) mm Hg | High (ϕ 19 mm Hg) |
|---|-----------------------------|------------------------------------|--|
| IVC diameter | ≤ 2.1 cm | ≤ 2.1 cm | > 2.1 cm |
| Collapse with truff | $> 50\%$ | $> 50\%$ | $< 50\%$ |
| Secondary indices of elevated RA pressure | | | <ul style="list-style-type: none"> ▪ Restrictive filling ▪ Thrombus E/E' > 6 ▪ Diastolic flow predominance in hepatic veins systolic filling fraction < 50% |



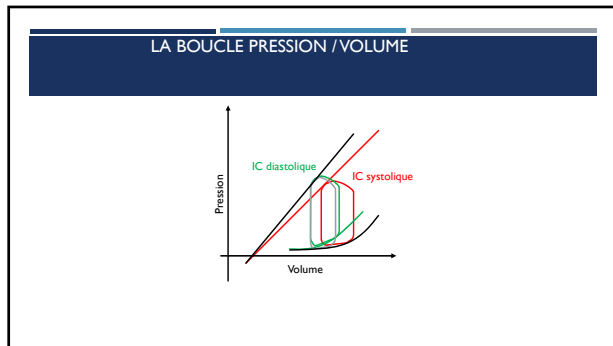
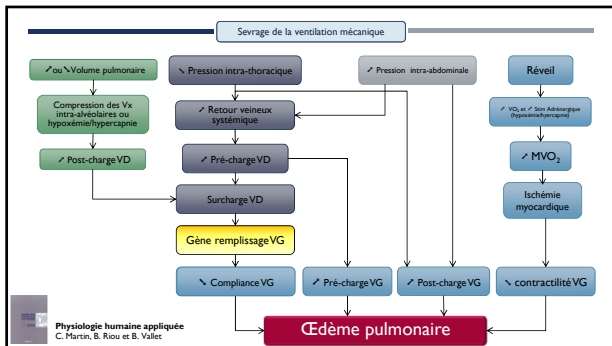


| FACTEURS PRÉDICTIFS DYSFONCTION VD | | | |
|-------------------------------------|-----------------|-----------------|------------------|
| | Sensitivity (%) | Specificity (%) | ROC AUC (95% CI) |
| TAPSE <1.5 cm | 59 | 94 | 0.82 (.68–.95) |
| DTI peak systolic velocity <10 cm/s | 59 | 92 | 0.83 (.72–.85) |
| MPI > 0.40 | 100 | 35 | 0.8 (.69–.91) |

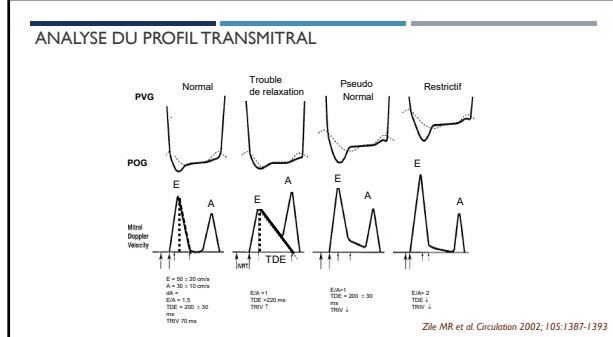
* MPI= myocardial performance index

| Variable | Unit | Abnormal | Illustration |
|---|-----------------|--------------|-------------------|
| Chamber dimensions | | | |
| RV basal diameter | cm | >4.2 | Figure 7 |
| RA major diameter | cm | >0.5 | Figure 5 |
| RA wall thickness | cm | >0.5 | Figure 5 |
| PA distal diameter | cm | >2.7 | Figure 8 |
| PA distal length | cm | >3.0 | Figure 8 |
| PA distal area | cm ² | >18 | Figure 3 |
| PA end-systolic area | cm ² | >18 | Figure 3 |
| Septal function | | | |
| TAPSE | cm | <1.6 | Figure 17 |
| Pulsed Doppler peak velocity mitral annulus | cm/s | <10 | Figure 16 |
| Pulsed Doppler MPI | — | >0.40 | Figure 16 |
| Transesophageal MPI | — | >0.50 | Figures 16 and 18 |
| FAC (%) | % | >5% | Figure 16 |
| Diastolic function | | | |
| E/A ratio | — | <0.8 or >2.1 | Figure 16 |
| E/E' ratio | — | >10 | Figure 16 |
| Deceleration time (ms) | ms | >200 | Figure 16 |

J Am Soc Echocardiogr 2010;23:685-713



| Echocardiographic diagnosis of pulmonary artery occlusion pressure elevation during weaning from mechanical ventilation* | | | |
|--|--|--|--|
| Bouchra Lamia, MD, MPH, PhD; Julien Maizel, MD; Ana Ochagavia, MD; Denis Chemla, MD, PhD; David Osman, MD; Christian Richard, MD; Jean-Louis Teboul, MD, PhD | | | |
| ■ 39 patients en échec de mise en RS | | | |
| ■ Augmentation PAPO chez 17 patients | | | |
| ■ Analyse échographique | | | |
| Bouchra L., Crit Care Med 2009; 37:1696–1701 | | | |



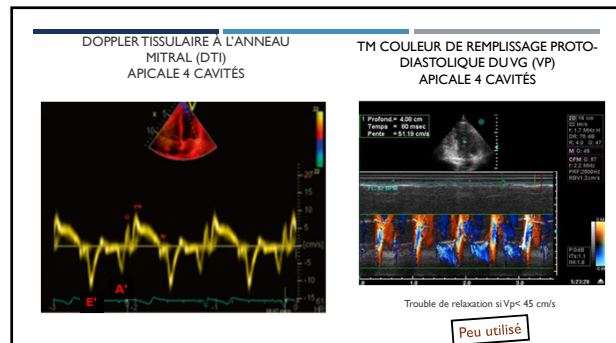
Flux transmital et évaluation des pression de remplissage

Ajuster flux transmital à un paramètre spécifique de relaxation

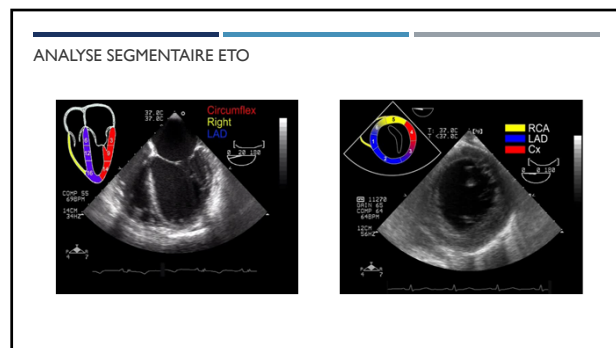
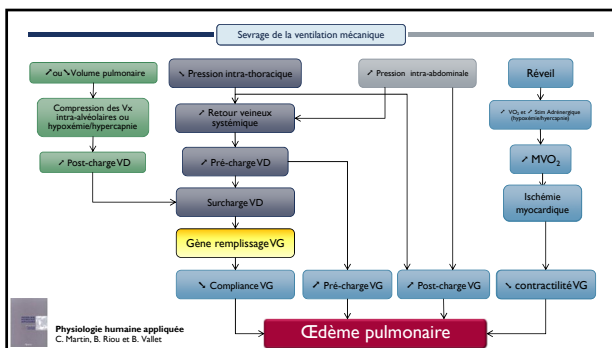
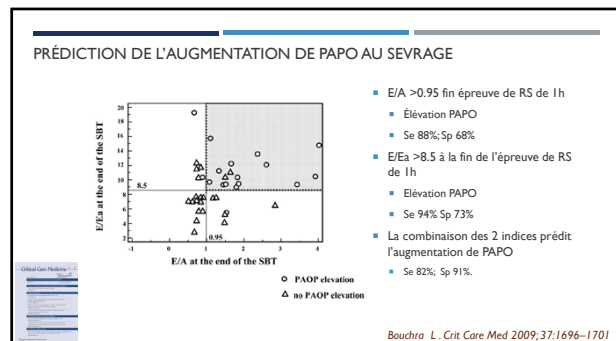
Flux TM (E) ≈ Relaisation pression de remplissage
Relaisation

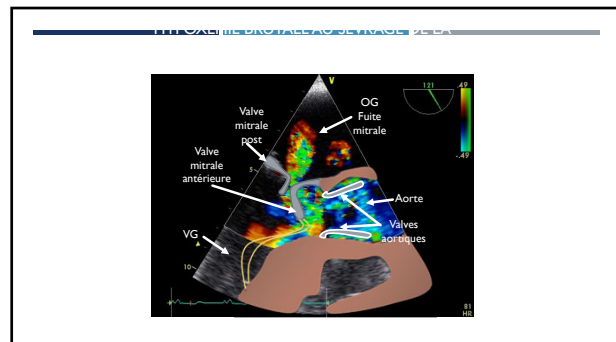
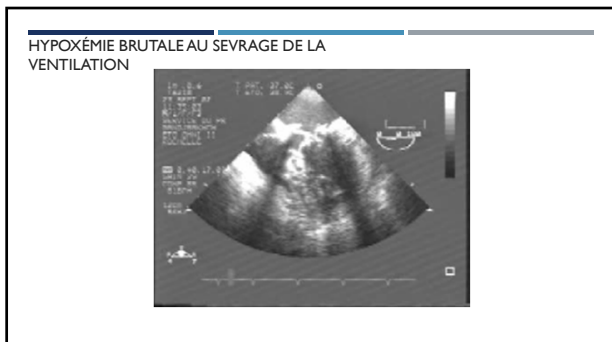
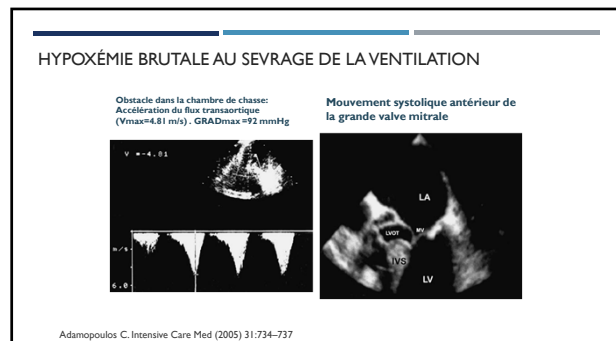
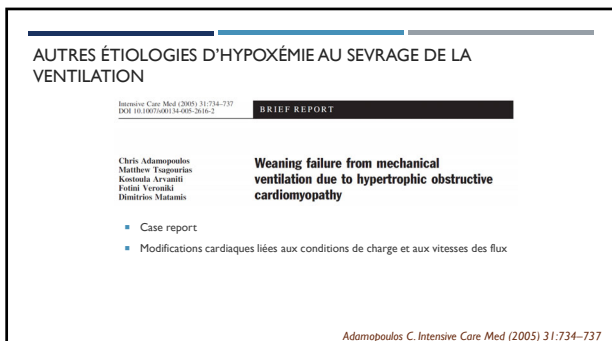
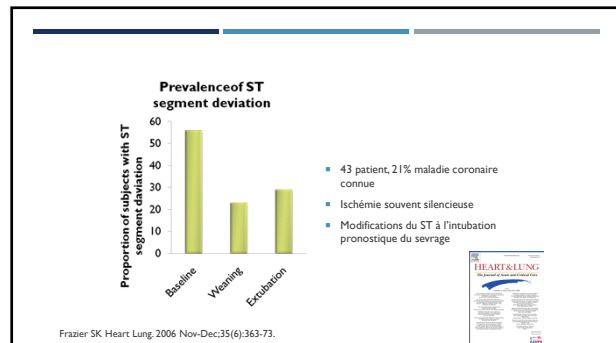
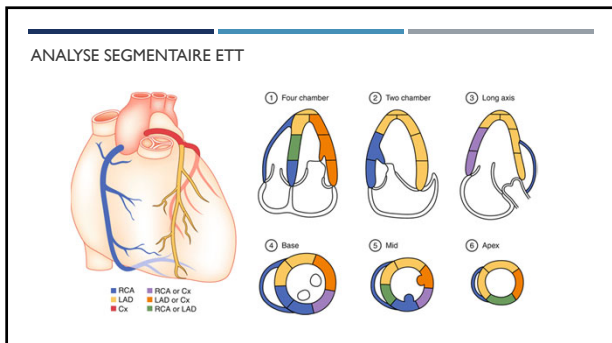
- Doppler pulsé tissulaire à l'anneau mitral (dT)

- TM couleur de remplissage proto-diastolique du VG (Vp)

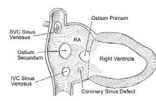
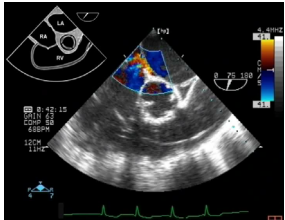


| FONCTION DIAST | Normal | Pseudo-normal (type 2) | Anomalie relaxation (type 1) | Anomalie compliance (type 3) |
|-----------------------|----------------|------------------------|------------------------------|------------------------------|
| Rapport E/A | > 1 | > 1 | < 1 | > 2 |
| Tps décélérat° onde E | 160-240 | 160-240 | > 240 | < 160 |
| TRIV ms) | 70-120 | 70-120 | > 120 | < 70 |
| E/Ea | < 8 | > 15 | > 15 | > 15 |
| E/Vp | < 1.5 | > 2.5 | > 2.5 | > 2.5 |
| Rapport S/D | > 1 | < 1 | > 1 | < 1 |
| Durée Ap/Amit | $A_{mi} > A_p$ | $A_{mi} < A_p$ | $A_{mi} > A_p$ | $A_{mi} < A_p$ |

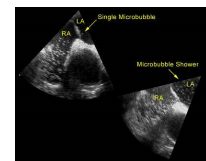
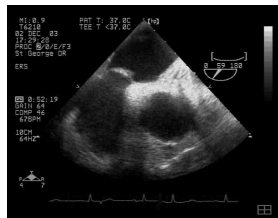




FORAMEN OVALE PERMÉABLE (FOP)



MANŒUVRE DE VALSALVA ET TEST DE CONTRASTE



EPREUVE DE CONTRASTE

- Distinction Foramen Ovale Perméable (FOP) et Shunt Intra Pulmonaire (SIP)
 - FOP : passage immédiat (moins de 3 battements cardiaques) des microbulles dans les cavités gauches dès leur apparition dans les cavités droites
 - SIP : passage retardé (plus de 3 battements cardiaques)
- Mais...
 - FOP > 3 battements si dépendant de la ventilation
 - SIP < 3 battements si proximal

CONCLUSION

- Le sevrage respiratoire peut être en échec dès les premières heures
 - Étiologie respiratoire
 - Modification des conditions de charge VG/VD +++
- ETT , ETO permettent d'évoquer le diagnostic
 - Rôle des indices combinés reste à valider dans cette indication
 - Limites classiques liées à une pathologie préexistante ou à des anomalies rythmiques
 - Cathétérisme de Swan-Ganz peut se révéler intéressant mais reste invasif
- Traitement vise à améliorer les conditions de charge
 - Déplétion hydrique, dérivés nitrés, inhibiteurs calciques, milrinone...